

● 研究論文

三相誘導電動機의 缺相時 電流 및 迴轉力特性에 關한 研究*

俞 春 植** · 盧 彰 注***

A Study on Current and Torque Characteristics of Three-Phase
Induction Motor in Single-Phase Operation.

Choonsik Yu · Changjoo Noh.

Abstract

The characteristics of the stator current and torque of a small three-phase squirrel cage induction motor are studied experimentally under the situation of a single-phase operation due to various causes.

Through the experiments, the torque-slip and current-slip curve of single-phase circuit as well as three-phase circuit are obtained and the needed constants are determined.

The stator current and torque are calculated by the current and torque equations derived by the unbalanced circuit theory.

The numerical values obtained from the above methods are compared with the experimental values under the same conditions.

The results of the study are summarized as follow;

1) The values computed by the unbalanced circuit theory generally come to approach the values recorded through experiments.

2) Near the rated load, speed drop is less than 1.2 per cent of the speed of three-phase induction motor and torque reduces less than 3 per cent of it of three-phase induction motor when three-phase induction motor is run under a single-phase. On the other hand, the stator current in a single-phase circuit is more than 1.9 times of it in three-phase circuit.

3) The stalling torque in a single-phase circuit is reduced to about 41 per cent of it in three-phase circuit while the corresponding slip is moved toward the synchronous speed and the corresponding stator current is increased.

* 1981年度 春季學術講演會(1981年 4月 25日)에서 發表

** 正會員, 海軍士官學校

*** 正會員, 韓國海洋大學

記 號 說 明

b_m	: 励磁 셔셉턴스 [Ω]
g_m	: 励磁 콘덴턴스 [Ω]
I_1, I_u, I_w	: 一次側 各 相의 線電流 [A]
I_{1P}, I_{1N}	: 一次側 正相 및 逆相電流 [A]
$I_{1\phi}, I_{3\phi}$: 單相 및 三相時 一次側에 流入 되는 전류 [A]
$I_{1m1\phi}, I_{1m3\phi}$: 單相 및 三相의 一次側에 流入 되는 最大電流 [A]
$J=mr^2$: 惯性 모멘트 [$kg \cdot m^2$]
$N_{1\phi}, N_{3\phi}$: 單相 및 三相의 電動機의 分당 회전수 [rpm]
P_{e1}, P_{e2}	: 1차 및 2차 銅損 [W]
P_1, P_2	: 一次 및 二次 入力 [W]
P_{0P}	: 出力 [W]
r_1	: 一相當一次抵抗 [Ω]
r_2'	: 二次一相의 抵抗(一次換算值) [Ω]
$R_{2\phi}, R_{1N}$: 正相 및 逆相磁界에 依한 二次 一相의 抵抗 [Ω]
s	: slip
$S_{m1\phi}, S_{m3\phi}$: 單相 및 三相에 依하여서 最大迴轉力을 發生하는 slip
T	: 電動機의 回轉力 [$N \cdot m$]
T_L	: 負荷迴轉力 [$N \cdot m$]
$T_{1\phi}, T_{3\phi}$: 缺相 및 三相時 回轉力 [$N \cdot m$]
$T_{m1\phi}, T_{m3\phi}$: 單相 및 三相時 最大迴轉力 [$N \cdot m$]
V_{vw}	: V 相과 W 相間의 線間電壓 [V]
V_{1P}, V_{1N}	: 一次側 正相 및 逆相電壓 [V]
V_u, V_v, V_w	: 各相電壓 [V]
x_1	: 一次一相의 漏洩리액턴스 [Ω]
x_2'	: 二次一相의 漏洩리액턴스 (一次換算值) [Ω]
x_m	: 励磁리액턴스 [Ω]
$Y_m = g_m - jb_m$: 励磁어드미턴스 [Ω]
ω	: 電動機의 任意角速度 (rad/sec)
ω_s	: 同期角速度 (rad/sec)

1. 序論

三相誘導電動機는 船舶이나 產業設備의 動力源으로서 普遍的으로 利用되며 그 用途 또한 多種多樣하다. 그런데, 이것을 運轉할 때 供給電壓의 不平衡, 電源스위치의 接觸不良, 電源開閉器의 一線의 후우즈의 鎔斷, 一次捲線의 一相開路, 또는 二次回路의 開放等으로 不平衡 運轉狀態로 되는 境遇가 많다.

三相交流回路의 電壓은 보통 1~2% 程度의 不平衡率 ($\mu = V_{1N}/V_{1P}$)을 피할 수 없고 電動機에 미치는 影響역시 작어서 사실상 無視할 程度이나 이것이 5~6%를 超過하면 Slip 및 電流가 增加되고 銅損이 커져서 機械的의 出力이 감소되고 逆相迴轉力의 增加로 有効迴轉力도 감소된다.¹⁾ 또 電壓不平衡의 極端의 例로서 三相誘導電動機가 運轉中에 一次端子의 一線이 開放되어 單相運轉을 행하게 되는 경우 電動機는 繼續迴轉하나 出力 및 效率은 減少된다.

運轉되고 있던 電動機가 缺相의 時기면 停動托オフ(Stalling torque)는 50° 전후로 資料하고 入力電流는 2倍 가까이 上으로 ²⁾ 2 element thermal relay(過負荷 및 缺相保護)나 3 element relay(過負荷, 缺相 및 逆相保護)³⁾와 같은 電動機 保護裝置의 作動이 不良할 때는 電動機가 燃損되는 事敘가 發生하게 된다.

三相誘導電動機의 不平衡狀態에 對한 一般的의 解析法으로는 1918년 Fortescue 氏에 依하여 發表된 對稱座標法^{4), 5)}을 본이 이용하고 있다. 그리고 이 方法이 實際 電動機 特性解析에 있어서 가장 一般的이고 可靠한 理論으로 認定되어 왔다. 그러나, 筆者가 오랫동안 艦上에서 誘導電動機를 使用해 본 경험에 비추어 본 때 缺相時의 電流와 回轉力은 一般 文獻과는 差가 많은 것 같았고 最近에 以此 電動機의 材質 및 製作技術의 發達로 機器들이 小形化 되었으므로 이런 것에서 오는 機械·電氣的 諸定數의 變化가 있을 것을豫想하고 어느 程度 理論과 實際가一致하는가를 確認하고 他實務者에게 参考가 되게 하기 위하여 研究가 실시되었다.

本研究를 위해서 瓢型三相誘導電動機를 供試

機로 選定하여 正常運轉狀態에서 一次側 端子의
任意의 一線을開放하여 不平衡狀態로 만들어
一次側에 流入되는 電流와 嶼轉力이 어떻게 變
化하는가를 考察하였다. 또 缺相時 電流 및 嶼
轉力의 變化를 理論的으로 밝히기 위해서 앞에
서 언급한 解析法에 의해서 特性式을 유도했으
며 實驗을 通해서 被試驗電動機의 解析에 必要
한 諸 定數值을 決定하고 三相 및 缺相時의 速
度-電流 및 速度-嶼轉力線圖를 記錄하였다.

그리고 不平衡運動轉解法에 依해 誘導電流 및 廻轉力式에 定數值를 代入해서 얻은 각각의 計算值와 實驗을 通過해서 얻은 實測值와를 比較検討하였다.

譜理 2.

不平衡運轉(單相運轉)解析法에 依한 電流 및 迴轉力 特性式^{5,6,7)}

對稱座標法은廻轉電氣機械를
포함하는不平衡
方法으로 供給
電氣回路를 解析하는 有用한
運轉狀態로 되
電壓의 不平衡으로 因한 特殊한
는 多相電氣機械를 취급할 때 特히 有用하다. 이
것은 不平衡 系統을 對稱成分으로 나누는 Fort-
escue의 定理에 基礎를 두는 것으로 三相系統에
適用時 이 定理는 모든 不平衡 三相系統을 3個
의 平衡系統 vector로 分解되며,^{8, 9, 10)}

缺相時에는 不平衡의 极端의 경우로서 零相分電流는 없지만 正相分과 逆相分은 存在하게 되고 運轉中에는 正相分과 逆相分迴轉磁界가 중첩되어 있으므로 이것의 T型等價回路는 그림 1^{5,7)}과 같다.

$$\text{但, } Z_p = r_1 + jx_1 + \frac{1}{g_m - jb_m + \frac{1}{r_2' + jx_2'}} -$$

$$Z_N = r_1 + jx_1 + \frac{1}{g_m - jb_m + \frac{1}{\frac{r_{z'}}{2-\delta} + jx_{z'}}}$$

固定子捲線이 Y 결線皂 三相籠型誘導 電動機
가 運轉 중에 그림 2처럼 UVW 의 三端子 중 U
가 開路되었을 때 正相分과 逆相分의 電流와 電
壓을 구하여 線電流와 回轉力を 구해 보기로 한
다.

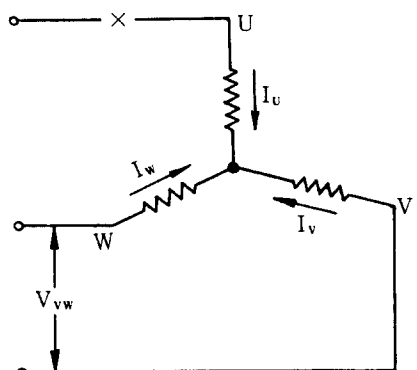


圖 2. 缺相時一次電流

U 端子線이 끊어지면 $I_u=0$, $I_v=-I_w$ 가 되고 U 相을 基準으로 取할 때 電流의 對稱分은

$$\begin{aligned}
 I_{1p} &= \frac{1}{3}(I_U + \alpha I_V + \alpha^2 I_W) \\
 &= \frac{1}{3}(\alpha I_V + \alpha^2 I_W) \\
 &= \alpha(1-\alpha)I_V/3 \\
 I_{1N} &= \frac{1}{3}(I_U - \alpha^2 I_V + \alpha I_W) \\
 &= \frac{1}{3}(\alpha^2 I_V + \alpha I_W) \\
 &= \alpha(\alpha-1)I_V/3
 \end{aligned} \quad \cdots \cdots \cdots \quad (1)$$

$$(\text{단}, \quad a=\epsilon) \quad e^{j\frac{2}{3}\pi} = -\frac{1}{2} + j\frac{\sqrt{3}}{2}$$

$$a^2 = \varepsilon^{-j\frac{4}{3}\pi} = -\frac{1}{2} - j\frac{\sqrt{3}}{2}$$

式(1)에선 $\dot{J}_{\perp z} = -\dot{J}_{\parallel z}$ 라 써야 한다.

한국 韓國의 對稱名。

$$V_{1P} = \frac{1}{2}(V_U + aV_V - aV_W)$$

$$V_{1N} = \frac{1}{2}(V_U + \alpha V_V + \alpha V_W)$$

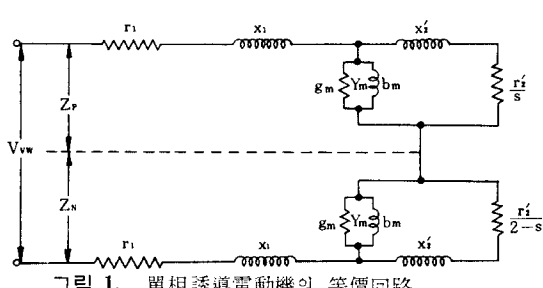


그림 1. 單相誘導電動機의 等價回路

$$\begin{aligned} \therefore V_{1P} - V_{1N} &= V_{VW} \times \frac{1}{a^2 - a} = V_{VW} \times \frac{1}{-j\sqrt{3}} \\ &= -\frac{j}{\sqrt{3}} V_{VW} \end{aligned}$$

對稱分電壓은 對稱分電流 × 대칭 분 임피던스이므로

$$\begin{aligned} V_{1P} &= I_{1P} \cdot Z_P, \quad V_{1N} = I_{1N} Z_N = -I_{1P} \cdot Z_N \\ \therefore V_{1P} - V_{1N} &= I_{1P} (Z_P + Z_N) = \frac{j}{\sqrt{3}} \cdot V_{VW} \dots (2) \end{aligned}$$

따라서 電流의 對稱分은 式 (2)에서

$$\left. \begin{aligned} I_{1P} &= -\frac{j}{\sqrt{3}} \cdot \frac{V_{VW}}{Z_P + Z_N} \\ I_{1N} &= -I_{1P} = -\frac{j}{\sqrt{3}} \cdot \frac{V_{VW}}{Z_P + Z_N} \end{aligned} \right\} \dots (3)$$

線電流는

$$\begin{aligned} I_V &= -I_W = a^2 \cdot I_{1P} + a I_{1N} \\ &= -\frac{j}{\sqrt{3}} \cdot \frac{V_{VW}}{Z_P + Z_N} (a^2 - a) \\ &\therefore = \frac{V_{VW}}{Z_P + Z_N} \dots (4) \end{aligned}$$

즉 線電流는 正·逆相分 임피던스를 합하여 線間電壓으로 나누면 구할 수 있다.

式 (2), (3)에서 電壓의 對稱分을 求하면

$$\begin{aligned} V_{1P} &= I_{1P} \cdot Z_P = \frac{Z_P}{Z_P + Z_N} \cdot -\frac{j}{\sqrt{3}} V_{VW} \\ V_{1N} &= -I_{1P} \cdot Z_N = \frac{-Z_N}{Z_P + Z_N} \cdot -\frac{j}{\sqrt{3}} V_{VW} \dots (5) \end{aligned}$$

즉, 對稱分電壓의 相電壓는 相電阻의 성분별 임피던스에 比例한다.

一次入力 P_1 은 線間電壓와 線電流로서 정해지고 $P_1 = [V_{VW} \cdot I_V]$ 로 본다.

線電流는 $\left| \frac{V_{VW}}{Z_P + Z_N} \right|$ 이고 이것의 $\frac{r_2'}{s}$ 分路로 헤르크로 分流係數를 구해보면

$$a_1 = \left| \frac{jx_m}{j(x_m + x_2') + r_2'/s} \right| \dots (6)$$

(단, $X_m = g_m - jb_m$ 의 X_m 은 g_m 을 前으로 移시하면 $1/Y_m = jx_m$ 로 본 수 있다)

$r_2'/(2-s)$ 을 헤르크로 分의 分流係數로

$$a_2 = \left| \frac{jx_m}{j(x_m + x_2') + r_2'/(2-s)} \right| \dots (7)$$

이다. 全入力を I^2R 形식으로 나타내면 3가지 케이스에서 전력이 소모하므로

$$P_1 = I_V^2 \cdot \xi r_1 + (I_V \cdot a_1)^2 \cdot \frac{r_2'}{s} + (I_V \cdot a_2)^2 \cdot$$

$$\begin{aligned} \frac{r_2'}{2-s} &= I_V^2 (2r_1 + a_1^2 \cdot \frac{r_2'}{s} + a_2^2 \cdot \frac{r_2'}{2-s}) \\ &= \frac{|V_{VW}|^2}{|Z_P + Z_N|^2} (2r_1 + R_{cP} + R_{cN}) \dots (8) \end{aligned}$$

단, $R_{cP} = \frac{x_m^2}{(r_2'/s)^2 + (x_m + x_2')^2} \cdot \frac{r_2'}{s} \dots (9)$

$$R_{cN} = \frac{x_m^2}{(r_2'/(2-s))^2 + (x_m + x_2')^2} \cdot \frac{r_2'}{2-s} \dots (10)$$

式 (8)의 저항은 一次銅損이 고, 그 값은

$$P_{c1} = 2|I_V|^2 \cdot r_1 = 2|V_{VW}|^2 \cdot r_1 / |Z_P + Z_N|^2 \dots (11)$$

나머지는 二次入力이 되고, 그 값 P_2 는

$$\begin{aligned} P_2 &= P_1 - P_{c1} = \frac{|V_{VW}|^2}{|Z_P + Z_N|^2} (R_{cP} + R_{cN}) \\ &= 3 \left\{ \frac{|V_{VW}|^2}{3|Z_P + Z_N|^2} \cdot R_{cP} + \frac{|V_{VW}|^2}{3|Z_P + Z_N|^2} \cdot R_{cN} \right\} \dots (12) \end{aligned}$$

等價回路에서 明確한 것처럼 Z_P 中의 r_2'/s 를 헤르크로 電流 $I_V' = a_1 I_V$ 및 Z_N 中의 $r_2'/(2-s)$ 를 헤르크로 電流 $I_V'' = a_2 I_V$ 라 하면, 二次銅損 P_{c2} 는

$$\begin{aligned} P_{c2} &= |I_V'|^2 \cdot r_2' + |I_V''|^2 \cdot r_2' \\ &= |I_V|^2 \left[\left(\frac{x_m^2}{(\frac{r_2'}{s})^2 + (x_m + x_2')^2} \cdot r_2' + \frac{x_m^2}{(\frac{r_2'}{2-s})^2 + (x_m + x_2')^2} \cdot r_2' \right) \right. \\ &\quad \left. - |I_V|^2 \cdot (s \cdot R_{cP} + (2-s) \cdot R_{cN}) \right] \dots (13) \end{aligned}$$

出力은 二次入力에서 二次銅損을 빼면 되므로

$$P_{cP} = P_2 - P_{c1} = |I_V|^2 [R_{cP} + R_{cN} - \{ s \cdot R_{cP} + (2-s) \cdot R_{cN} \}] = |I_V|^2 [R_{cP} - R_{cN}] (1-s) \dots (14)$$

迴轉力矩

$$\begin{aligned} T &= P_{cP} / (1-s) \cdot \omega_S = |I_V|^2 [R_{cP} - R_{cN}] / \omega_S \\ &= 3 \left[\frac{|I_V|^2}{3} \cdot R_{cP} - \frac{|I_V|^2}{3} \cdot R_{cN} \right] / \omega_S [N \cdot m] \end{aligned}$$

그리고, 式 (3)을 利用하여

$$\begin{aligned} T &= 3(|I_{1P}|^2 \cdot R_{cP} + |I_{1N}|^2 \cdot R_{cN}) / \omega_S \\ &= 3|I_{1P}|^2 \cdot (R_{cP} - R_{cN}) / \omega_S [N \cdot m] \dots (15) \end{aligned}$$

이 되며 이 값에 電動機의 鐵損과 崩轉損을 감한 것이 出力으로 나간다.

한편, 平衡三相인 경우의 전류화 회전력은 L 型 等價回路로부터 誘導되는 式은

$$I_{13\phi} = \frac{V/\sqrt{3}}{\sqrt{(r_1+r_2'/s)^2 + (x_1+x_2')^2}} \quad \dots(16)$$

$$T_{3\phi} = \frac{V^2 \cdot r_2'/s}{\omega_s \{ (r_1+r_2'/s)^2 + (x_1+x_2')^2 \}} \quad \dots(17)$$

이다.

3. 實驗

3-1 實驗裝置의 概要

本論文의 性質上 正常狀態에서 運轉되고 있는 三相誘導電動機가 어떤 原因으로 缺相時 一次側에 流入되는 電流와 嶸電力의 變化를 測定하거나 記錄할 수 있는 裝置를 마련하였다. 實驗裝置는 供試電動機를 DC發電機와 直結시키고 負荷크기는 DC發電機의 負荷와 木製制動機로써 조종했으며 速度測定은 tachogenerator로, 그리고

廸轉力의 測定은 固定子에 附着한 rheostat 와 스프링식 張力計를 使用하였다. 供試電動機의 機械損耗 測定하기 위해서 外部直流電動機로서 周期速度로 轉速시켜 주고 이때 供試電動機의 電力指示值의 差 ($\Delta W = W_1 - W_2$)을 구했다. 그리고 三相 및 缺相時 一次側에 流入되는 電流 및 嶐電力의 變化는 X-Y recorder를 使用하여 記錄할 수 있도록 하였다.

표 3-1은 供試電動機의 定格이며 그림 3은 實驗裝置의 結線圖와 實物寫眞이다.

표 3-1 供試電動機의 定格

普通籠型	誘導電動機
Voltage : 200V	RPM : 1720
Frequency : 60Hz	Pole : 4P
Starting current : 18amp	Full load current : 3.8amp
Starting torque : 150%	output : 0.7KW(1HP)

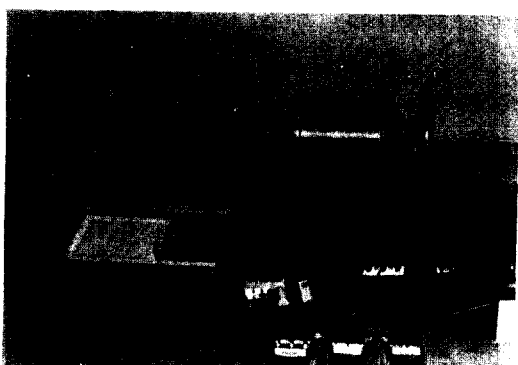
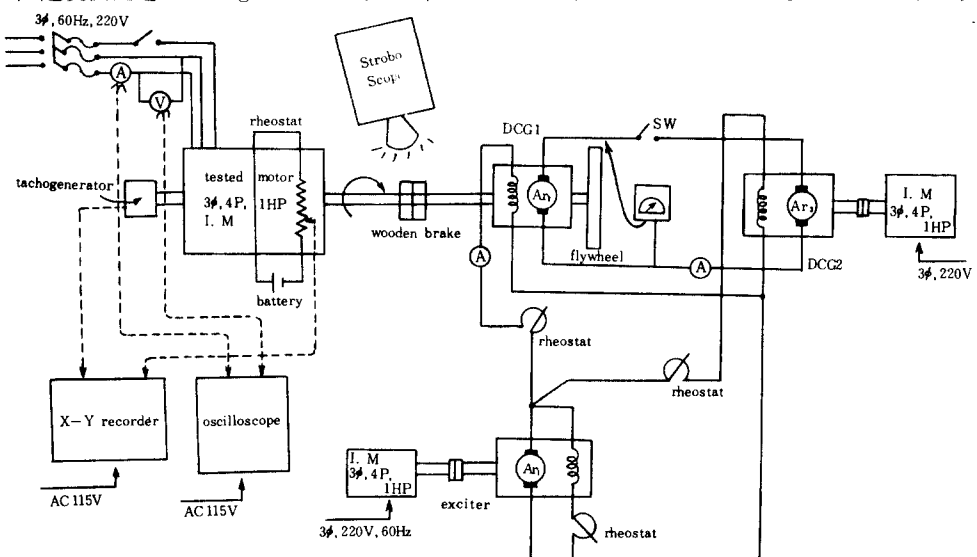


그림 3. 實驗裝置結線圖 및 寫眞

3-2 定數測定實驗^{11), 12)}

廸轉力과 電流의 計算 및 解析에 必要한 電動機等價回路에 包含된 定數 $r_1, r_2, x_1, x_2, x_m, g_m, b_m, y_m$ 等을 測定하기 위한 實驗이다. 이것을 하기 위해서 供試電動機로부터 一次抵抗測定實驗, 無負荷實驗, 短絡 또는 拘束實驗을 實施하였다. 力率角測定에는 오실로스코우프를 使用하였고 無負荷實驗은 供試電動機가 無負荷로 運轉中 A_{r_3} 에서 A_{r_2} 로 DC電力を 供給하여 同期速度까

지 增速사킨 후 즉 機械損을 負擔하도록 한 뒤의 AC入力電力으로부터 求得了다. 이를 實驗을 通해서 決定한 供試電動機의 諸定數値는 表 3·2 와 같다.

表 3·2 供試電動機의 電氣的 定數

$$\begin{aligned} r_1 &= 2.1535[\Omega] & g_m &= 0.0058[\Omega] \\ r_2 &= 2.2177[\Omega] & b_m &= 0.103[\Omega] \\ x_1 + x_2' &= 4.3721[\Omega] & Y_m &= 0.0013[\Omega] \\ x_1 = x_2' &= 2.1856[\Omega] & x_n &= 47.52[\Omega] \end{aligned}$$

3·3 速度—電流特性測定實驗

三相 異缺相時 供試電動機의 負荷를 渐增시

으로 增加시켜 $slip = 0$ 에서 $s=1$ 까지 變할 때 固定子捲線에 流하는 電流値를 測定하는 實驗이다.

供試電動機의 延轉速度에 比例해서 誘起되는 tachogenerator의 電壓을 整流해서 X-Y recorder의 X축에 넣고 固定子에 流하는 電流는 開路되지 않은 任意의 한 線에서 AC電流計의 端子電壓을 整流하여 Y축에 넣어 負荷를 無에서 電動機가 停止한 때까지 증가시켜 그림 4의 ④의 曲線과 같은 電流—slip特性曲線을 얻었다.

같은 方法으로 求한 缺相時의 值은 曲線③이 다.

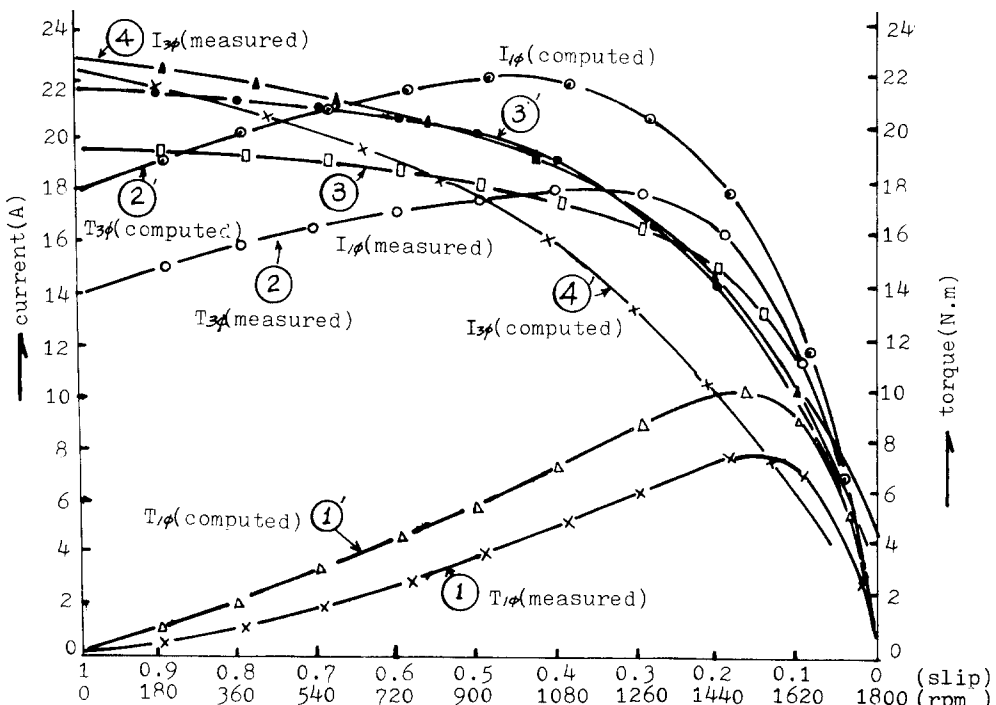


그림 4. 平衡三相時와 缺相時의 電流·廻轉力의 計算値와 實驗値

3·4 速度—廻轉力 特性測定實驗

速度—電流 特性測定實驗에서와 同一한 方法으로 記錄計의 X축에는 tachogenerator의 誘起電壓을 넣고 Y軸에는 廻轉可能한 供試電動機의 固定子 外周에 potentiometer를 附着시키고 여기에 直流電源을 연결하여 電動機에서 發生하는 廻轉力에 比例해서 固定子가 轉動시킨 角에 相

當한 電壓을 넣어 廻轉力($\text{kg}\cdot\text{m}$) 값이 記錄되도록 하였다. 이 曲線이 그림 4의 ②이다.勿論 固定子에 나타나는 廻轉力은 스프링식 張力計 (arm 0.32m)가 달려 있으므로 供試電動機의 어떤 廻轉數에 對하여 廻轉力を 읽을 수 있도록 되어 있다.

缺相時의 值은 그림 4의 ①이다.

4. 實驗結果 及 檢討

4·1 理論値의 具体的인 計算

單相時 電動機의 回轉力과 電流의 理論的인
값을 求하기 위해 表 3·2에 주어진 本 試驗電
動機의 電氣的 諸定數值를 式 (4), (15)에 그리
고 三相인 것은 (16), (17)에 代入하여 電子計
算機로써 電流 및 回轉力 値을 slip 0.02 구간으
로 하여 구하고 그 值을 그림 4에 그려서 實測
値와 比較 용이하게 하였다.

4.2 實測值와 計算值와의 比較

그림 4에서 slip 變化에 對한 電流의 變化, 回轉力 크기의 變化 등은 一目요연하게 알 수 있다. 이 그림에서 알 수 있는 것은 전반적으로 實測值가 計算值보다 적게 나오고 있다.

計算值의 停動토오크는 $T_{m3\phi} = 21.926[\text{N}\cdot\text{m}]$ 에
서 $T_{m1\phi} = 9.679[\text{N}\cdot\text{m}]$ 로 되어 44% 減少하여 이
때 $s_{m3\phi} = 0.46$ 에서 $s_{m1\phi} = 0.18$ 로 移動한다. 反面
에 實測值은 $T_{m3\phi} = 17.25[\text{N}\cdot\text{m}]$ 에서 $T_{m1\phi} = 7.12$
[$\text{N}\cdot\text{m}$]로 41% 程度 減少하고 이때 $s_{m3\phi} = 0.4$ 에
서 $s_{m1\phi} = 0.2$ 附近으로 移動한다.

한편 固定子에 流入되는 電流는 計算의 경우
 $s_{m3\phi} = 0.46$ 에서 $I_{13\phi} = 16.904[A]$ 이고,
 $I_{11\phi} = 19.604[A]$ (3 ϕ 의 1.16倍)이 나,
 $s_{m1\phi} = 0.18$ 에서 $I_{13\phi} = 9.203[A]$ 이고,
 $I_{11\phi} = 13.934[A]$ (3 ϕ 의 1.51倍)로 增加를 나타내고 있다.

實測值에서 는

$s_{m3\phi} = 0.4$ 에서 $I_{13\phi} = 18.55[A]$ 이고,
 $I_{11\phi} = 17.4[A]$ (3 ϕ 의 0.94倍)이나,
 $s_{m1\phi} = 0.2$ 에서 $I_{13\phi} = 14.4[A]$ 이고,
 $I_{11\phi} = 14.8[A]$ (3 ϕ 의 1.03倍)로 역시增加하고 있다.

結果의으로 缺相時 電動機에 나타나는 特性으로 停動토오크는 三相時 停動토오크의 41%까지 減少하고 停動토오크를 發生하는 slip은 $s=0$ (同期速度)쪽으로 移動하여 停動토오크附近에서 的 一次 電流는 計算值와 實測值가 모두 增加한다는 事實을 알 수 있다.

그러나 同期速度 균방에서 電動機를 利用하드
로 이 附近에서는 상세히 檢討할 必要가 생겼
다.

4.3 電動機迴轉力과 負荷迴轉力과의 考察

一般的으로 電動機가 負荷를 지고 平衡狀態로 驅動되고 있을 때는 角加速度가 없으므로 $(J \frac{d\omega}{dt} = 0)$ 電動機에서 發生하는 姦轉力은 全部 負荷에 供給된다.

한편 負荷廻轉力은 간단히

$$T_L = F + K\omega [K: \text{常数}]^{14)} \dots \dots \dots \quad (18)$$

로 나타낼 수 있다.

그림 4는 同期速度 근방에서는 모든 曲線이 한 곳에 集結되어 상세한 内容을 구별할 수가 없다. 그러므로 電動機를 使用하는範圍 근방만 特別히 확대하여 理論的인曲線과 實測的인曲線上에서 假定한 負荷線(명판에 기재된 出力 및 回轉數에 基礎를 두었음)과 交叉한 狀態로 平衡渾轉도고 있는 그림이 必要하다.

그림 5는 理論曲線이며 그림 6은 實測曲線이다.

定格負荷로 三相誘導電動機가 運轉되다가 어
떤 原因으로 缺相이 되면 計算值(그림 5)에서의
 $T_{3\phi} = 4.55[\text{N}\cdot\text{m}]$, $s_{2\phi} = 0.036(N_{3\phi} = 1,735\text{rpm})$ 에
서 平衡狀態로 運轉되다가 $T_{1\phi} = 4.45[\text{N}\cdot\text{m}]$,
 $s_{1\phi} = 0.045(N_{1\phi} = 1,719\text{rpm})$ 로 平衡点이 移動하
며, 反面에 實測值(그림 6)에서는 $T_{3\phi} = 4.4[\text{N}\cdot$
 $\text{m}]$, $s_{2\phi} = 0.038(N_{2\phi} = 1,733\text{rpm})$ 에서 $T_{1\phi} = 4.3$
 $[\text{N}\cdot\text{m}]$, $s_{1\phi} = 0.049(N_{1\phi} = 1,712\text{rpm})$ 로 電動機
와 負荷迴轉力의 平衡点이 移動한다.

筆者는 計算的인 曲線보다 實測曲線에 더 重
点을 두고 싶으며 이 曲線上(그림 6)에서 그 關係
를 나타내면 平衡運轉中에서는 P_1 에 있던 것
이 缺相이 생기며 P_2 으로 移動하게 되다.

定格負荷에서 缺相時 電動機速度는 三相時 電動機速度의 1.2% 以下로 減少하고 廢轉力은 3% 以下로 減少한다. 그러나 固定子에 流入되는 電流는 計算值의 경우에 $I_{3\phi} = 2.15[A]$ 에서 $I_{1\phi} = 6.75[A]$ 로 3.14倍 증가하고, 實測值의 경우에는 $I_{3\phi} = 3.7[A]$ 에서 $I_{1\phi} = 7[A]$ 정도로 1.9倍增加하고 있다. 어느 特定負荷狀態에서 缺相이

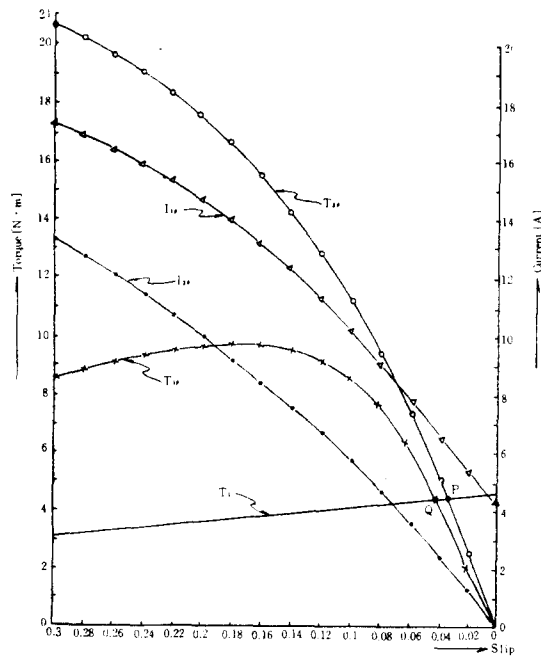


그림 5. 定格負荷下에서 平衡된 運轉狀態(理論值)

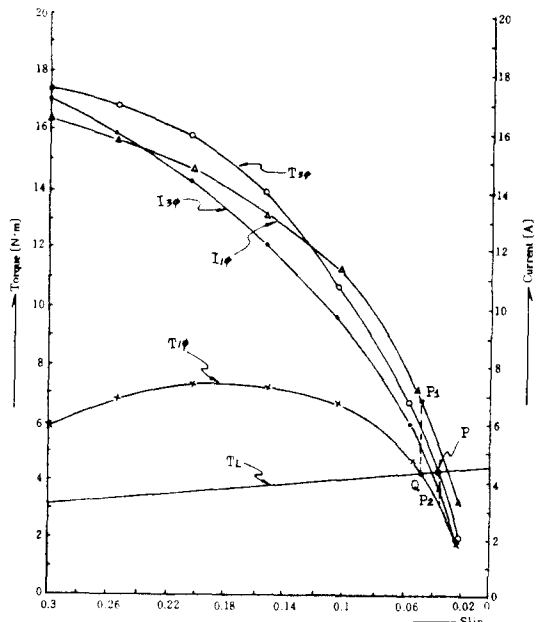


그림 6. 定格負荷下에서 平衡된 運轉狀態(實測值)

생겼을 때 어떻게 되는가를 알려면 負荷의 크기에 따라 負荷線의 기울기와 位置가 달라짐으로 그때마다 위와 같은 과정을 거쳐서 구해보면 되겠으나 작업이 번거러울므로 여기서는 80%, 100%, 120% 3가지에 대해서만 어떻게 변화하는가를 求하여 表 4-1에 나타내어 보았다.

이번에는 slip의 變化에 따라 三相인 것과 缺相인 경우에 運轉力의 差가 어떻게 變하는가를 그림 7에 나타내었다.

이 線圖에서 供試電動機는 $\Delta T = s=0.06$ 을 變曲點(brake point)으로 하여 거의 直線的으로 增加하는 特性을 가짐을 알 수 있다.

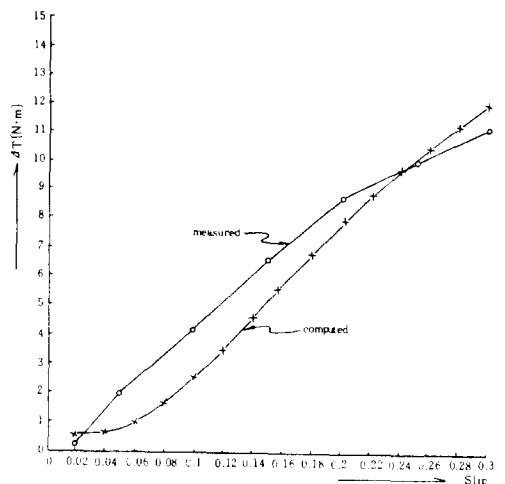
그림 7. Slip變化 對 運轉力差(三相時), 缺相時
曲線 [$\Delta T = T_{\phi}(s) - T_{1\phi}(s)$]

표 4-1 缺相時 速度, 電流, 運轉力 變化

(계산치 / 실측치)

負荷	80% 負荷			定格 負荷			120% 負荷		
	구분	Slip	電流 [A]	迴轉力 [N·m]	Slip	電流 [A]	迴轉力 [N·m]	Slip	電流 [A]
三相	0.033	1.85	3.95	0.036	2.15	4.55	0.041	2.4	5.05
	0.035	3.3	3.85	0.038	3.7	4.4	0.042	4.2	4.9
缺相	0.039	6.25	3.85	0.045	6.75	4.45	0.05	7.1	5.02
	0.042	4.7	3.8	0.049	7	4.3	0.056	7.9	4.75

5. 結 論

지금까지 誘導電動機에 缺相事故가 發生하였을 때 이것의 回轉力, 電流를 計算하는 理論式과 實驗裝置를 利用하여 구한 實測值와 比較 檢討하는 과정에서 다음과 같은 結論을 얻었다.

(1) 三相誘導電動機가 運轉 중에 一相이 缺相이 되었을 때 不平衡回路理論에 依한 固定子에 流入되는 電流 및 電動機回轉力은 實測值에 대체로 接近하나 다소의 誤差가 있다. 이런 것들은 固定子에 供給되는 電流가 slip ring을 通過하기 때문에 오는 一次抵抗증대, 定格不正確, 測定計器 등의 부정확, 그리고 기타 여러 가지 原因에 起因한 것으로 본다.

(2) 小形三相籠型誘導電動機가 定格負荷 前後에서 缺相事故가 생기면 回轉力이 3%程度 減少함으로 속도도 1.2% 감소된다. 주 큰 속度變化는 일어나지 않지만 固定子에 流入되는 電流는 三相運轉時보다 1.9倍 以上이 훌려 正常보다 3.6倍 정도의 發熱을 함으로 電動機過熱을 초래한다. 따라서 三相時 어떤 過負荷狀態에서 燒損時間을 알 수 있다면 缺相時 電動機가 燒損되는時間을 예측할 수 있을 것이다 그리고 간단한 理論的 근거에서 추측하는 값보다 더 큰 電流가 흐른다는 것을 알 수 있다.

(3) 종래의 電動機 保護裝置는 缺相時 overload detect element 두 개가 모두 動作될 경우에는 電動機는 停止하나 하나단이 動作될 경우에는 電動機가 燒損될 위험이 있으므로 缺相時에는 얼마나 큰 電流가 흐른다는 것을 正確히 예측됨으로 電子裝置를 導入한다면 보다 正確한 保護裝置의 設計가 可能함을 豫示하고 있다.

(4) Current-slip 및 torque-slip 特性曲線에서 缺相時 停動토오크는 文獻에 依하면 50% 前

後이나²⁾ 本 研究에서는 41%로 減少하였으며 停動토오크를 發生하는 slip는 同期速度쪽으로 移動하였고 停動토오크를 發生하는 slip附近에서 入力電流가 增加하는 特性을 나타내어 一般文獻과 差가 있음을 알았다.

參 考 文 獻

- 1) 後藤 良: 電磁機械(上), 共立出版株式會社, 東京, 1963, p.p.163~166.
- 2) 任達鎬, 朴聖圭: 電氣機械 II, 東逸出版社, 1978, p.p. 298~299.
- 3) 元鍾洙: 電動機의 燒損防止를 위한 保護, 大韓電氣學會誌, 第28卷 第2號, 1979. 2 p.p. 95~105.
- 4) K. Y. Tang : Alternating current circuits, International textbook company, 1955. 12, p.p. 361~385.
- 5) 日本電氣學會: 誘導機, 日本電氣學會, 東京, 1952. 10, p.p. 132~154, p.p. 188~196.
- 6) 高田勇次郎: 電氣機械 I, オーム社, 東京, 1965. 5, p.p. 321~322.
- 7) 朴汶鎬: 誘導機器, 東明社, 1977, p.p. 471~482, p.p. 535~543.
- 8) 한만준역: 交流回路(Russel M. Kerchner and George F. Corcoran: Alternating current circuits) 文教部, p.p. 497~528.
- 9) A. E. Fitzgerald and Charles Kingsley, Electric machinery, McGraw-Hill book company, INC, 1952. p.p. 440~467.
- 10) A. E. Fitzgerald外 2名: Electric machinery, International student edition, 1971, p.p. 524~530.
- 11) 東京電氣大學: 最新強電實驗, 東京電氣大學出版部, 1962. 6, p.p. 121~140.
- 12) 李允鍾: 新編電氣機械, 東明社, 1979, p.p. 329~332.
- 13) 盧彰注, 金潤植: 小形三相誘導電動機의 起動電流一時間에 關한 研究, 大韓電氣學會誌 第27卷 第5號, 1978. 9.
- 14) 朴汶鎬: 電動機 應用(電氣制御編), 東明社, 1965, p.p. 6~13.